

Fine sediment management at hydropower schemes considering turbine erosion

Dr. D. Felix, Dr. I. Albayrak, Prof. Dr. R. M. Boes

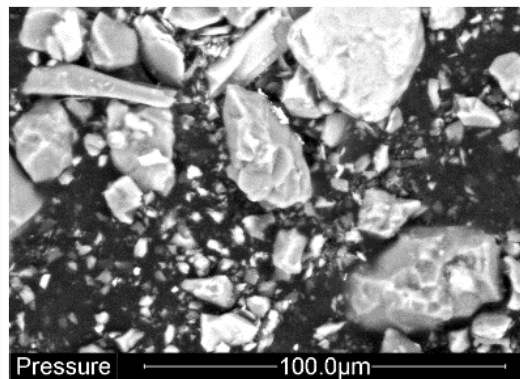
Outline

- **Sediment problems** at hydropower plants
- **Reducing the sediment load** in the turbine water of run-of-river HPPs by temporary shutdowns
- **Increasing the fine sediment load** in the turbine water of storage HPPs to reduce reservoir sedimentation
- **Estimating erosion** in Pelton turbines
- Conclusions

Variability of sediment transport



Wysswasser (downstream
of Fieschergletscher)



Sediment problems at HPPs

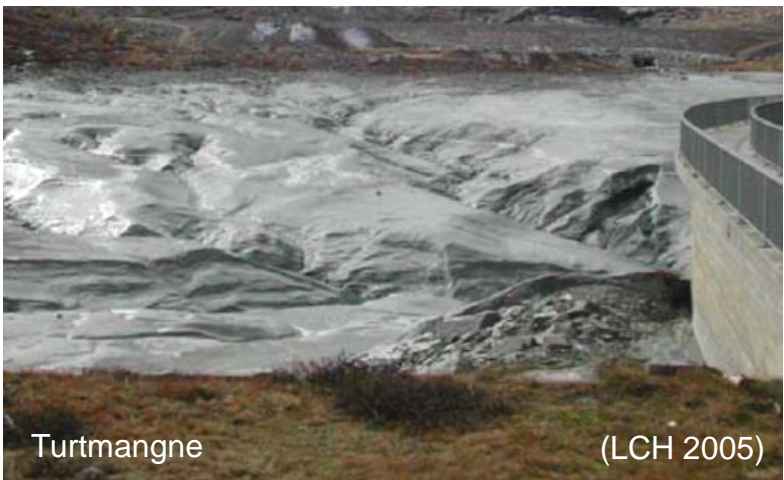
Blockage of intakes, outlets, etc.



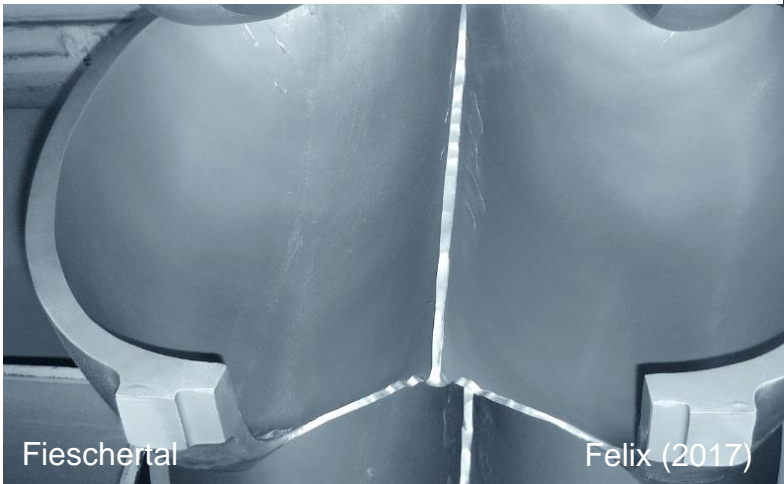
Erosion on hydraulic structures



Reservoir sedimentation

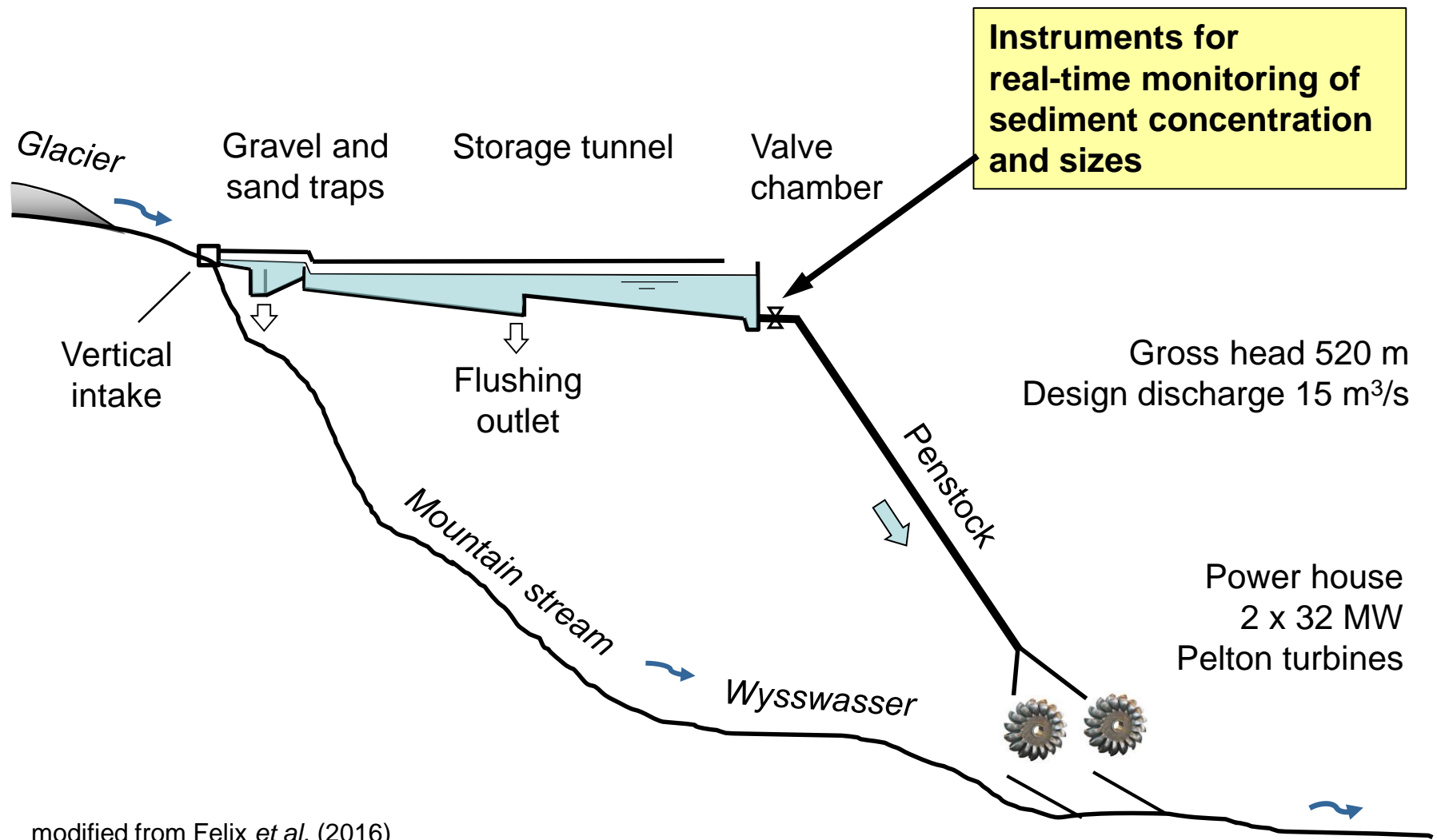


Erosion on hydraulic machinery

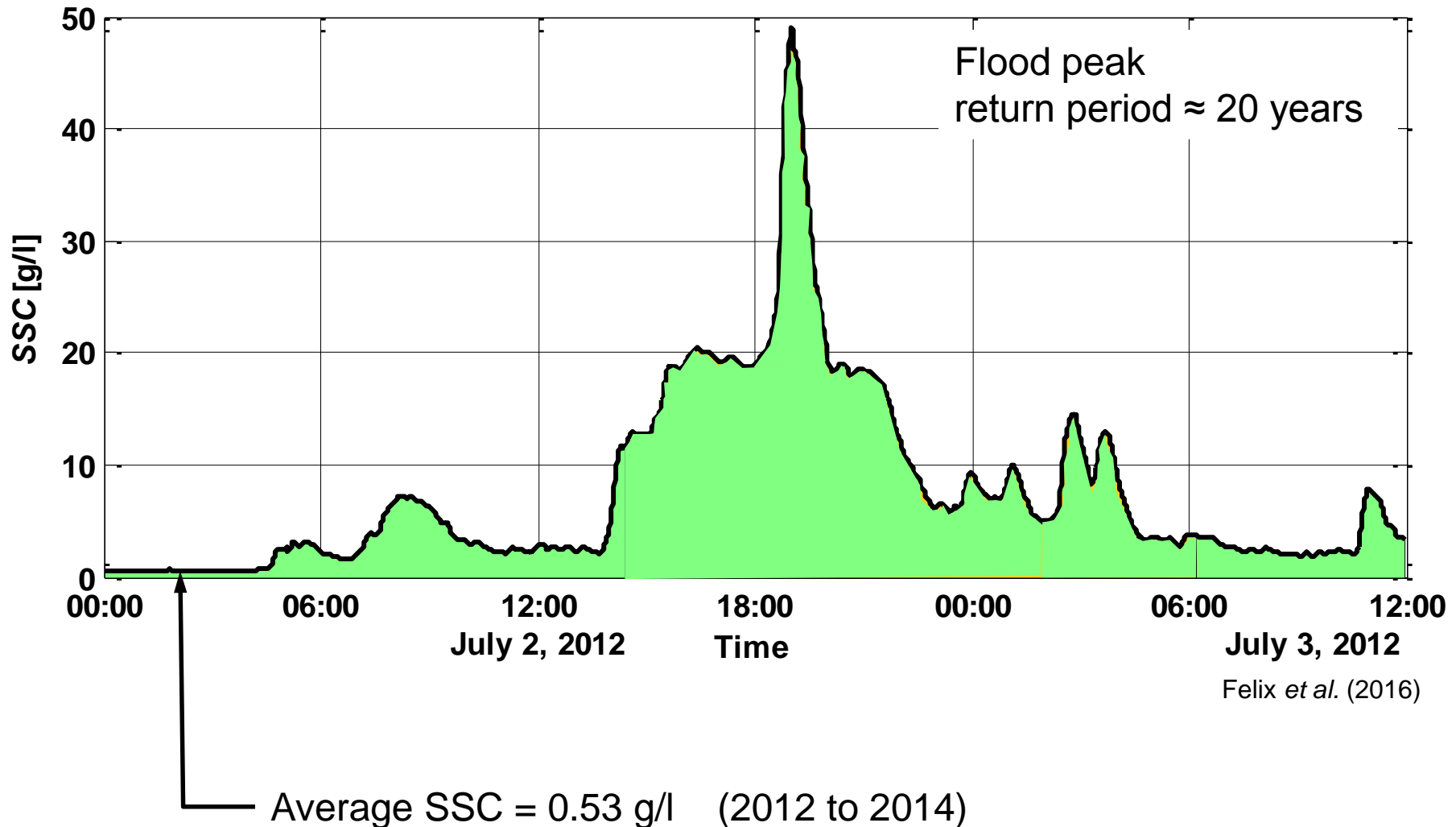


- Sediment problems at hydropower plants
- **Reducing** the sediment load in the turbine water of run-of-river HPPs by temporary shutdowns
- **Increasing** the fine sediment load in the turbine water of storage HPPs to reduce reservoir sedimentation
- **Estimating** turbine erosion
- Conclusions

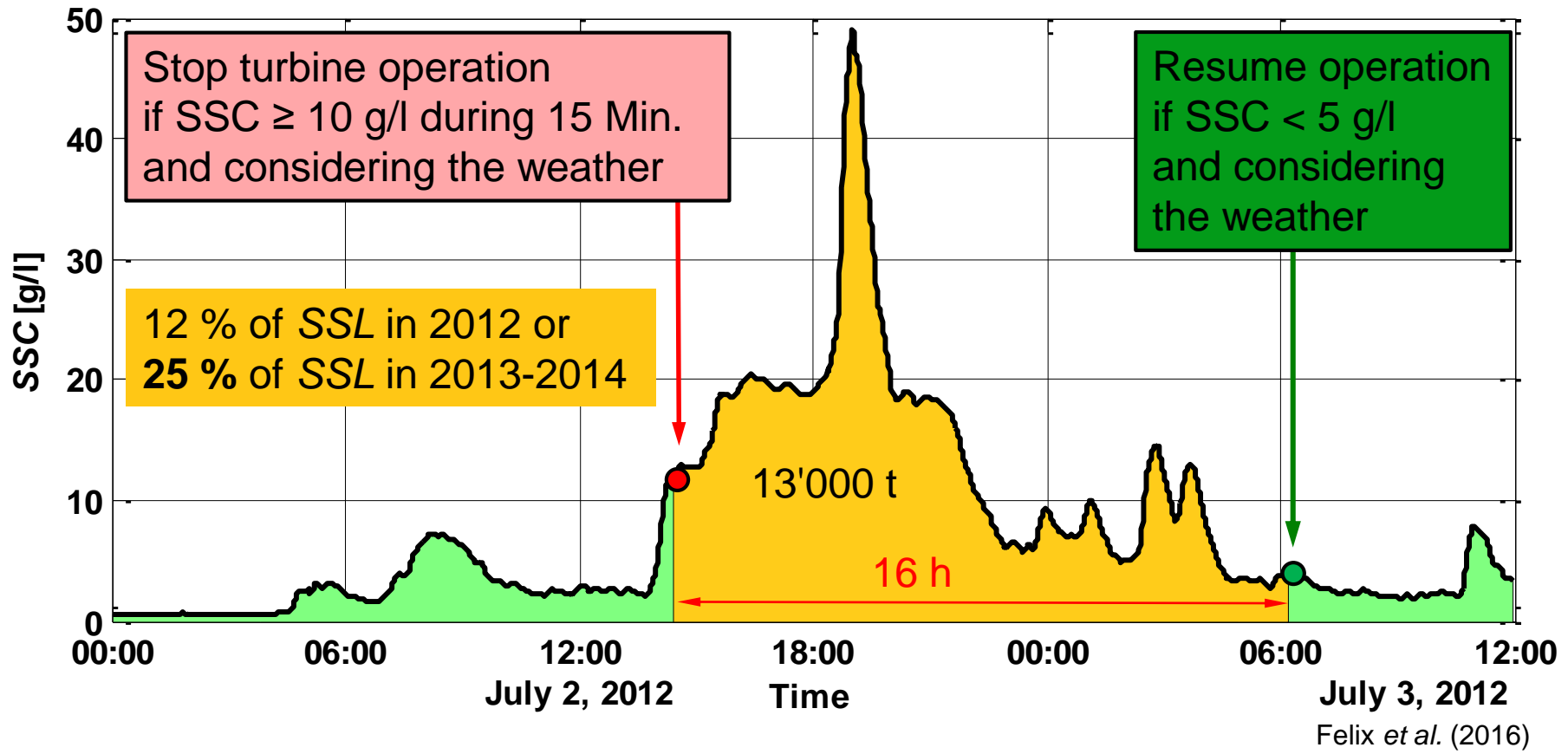
Longitudinal profile of HPP Fieschertal



Sediment concentration during a flood



Shutdown scenario during flood

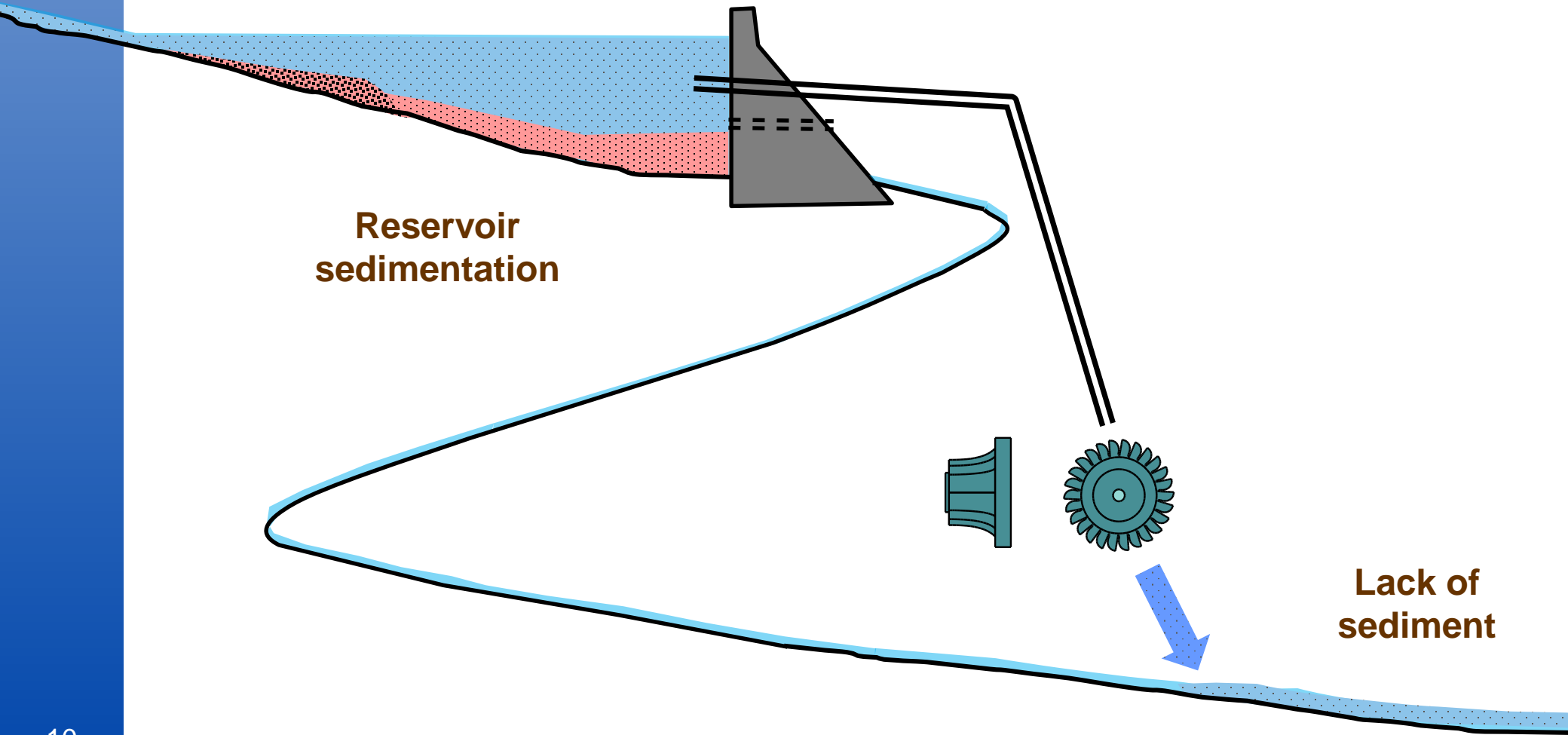


- 50 000 CHF **Production loss due to standstill (2 turbines)**
- + 200 000 CHF **Avoided repair costs** (rough estimate)
- + 50 000 CHF **Avoided future production losses** (estimate)
- + 200 000 CHF **Net benefit corresponding to 2.7% of annual revenue**

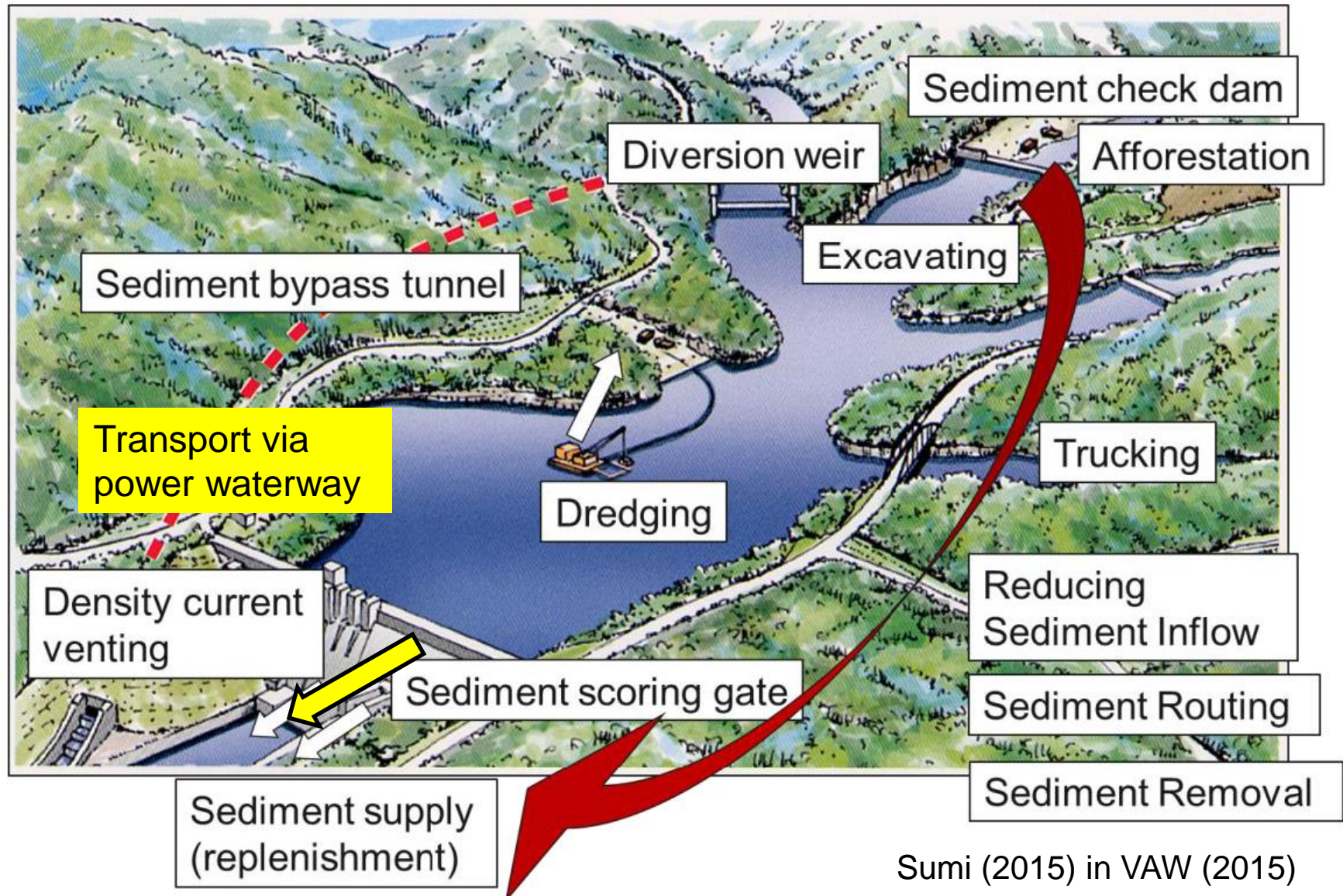
- Sediment problems at hydropower plants
- **Reducing** the sediment load in the turbine water of run-of-river HPPs by temporary shutdowns
- **Increasing** the fine sediment load in the turbine water of storage HPPs to reduce reservoir sedimentation
- **Estimating** turbine erosion
- Conclusions

Reservoir sedimentation

High sediment trap efficiency

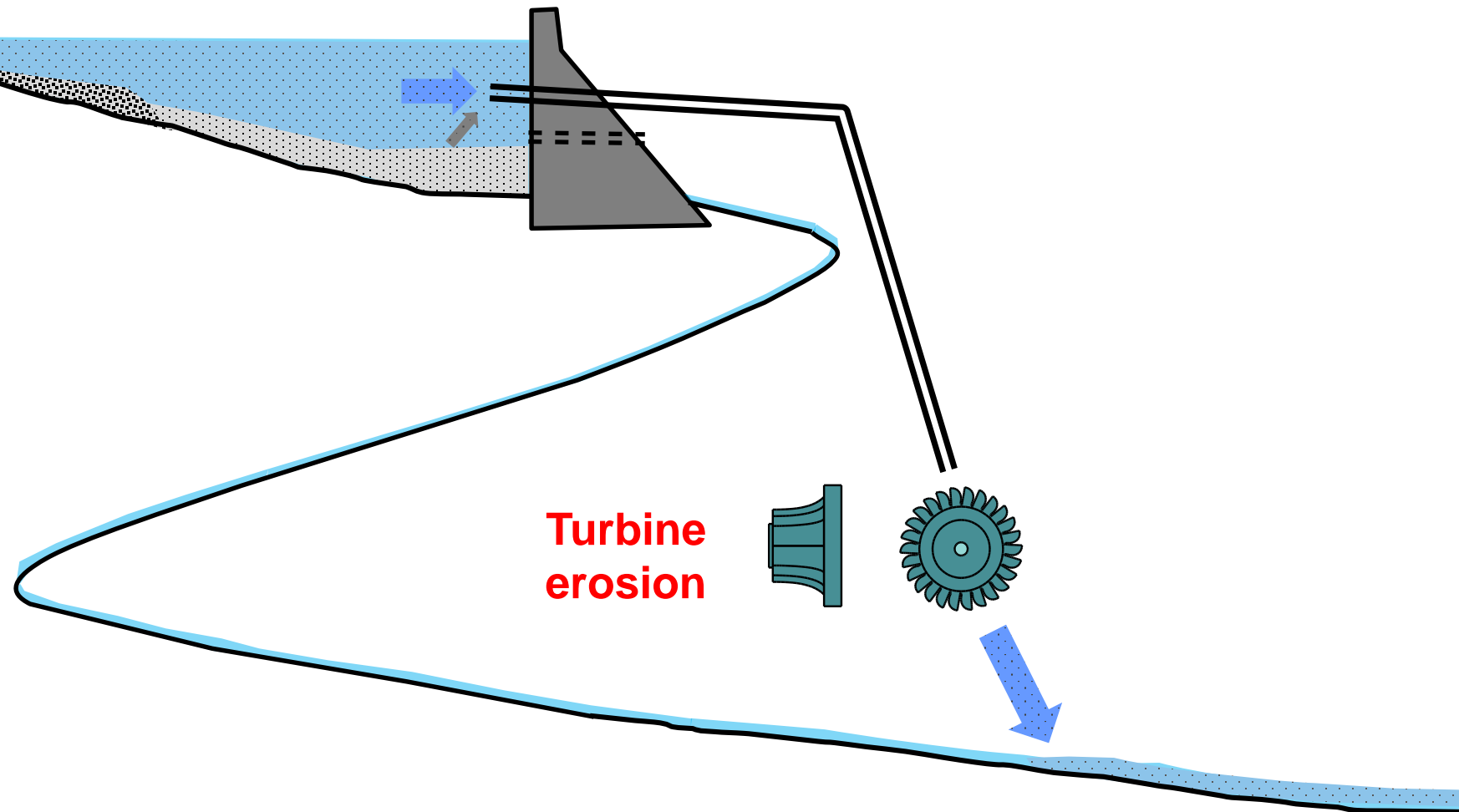


Options to reduce reservoir sedimentation

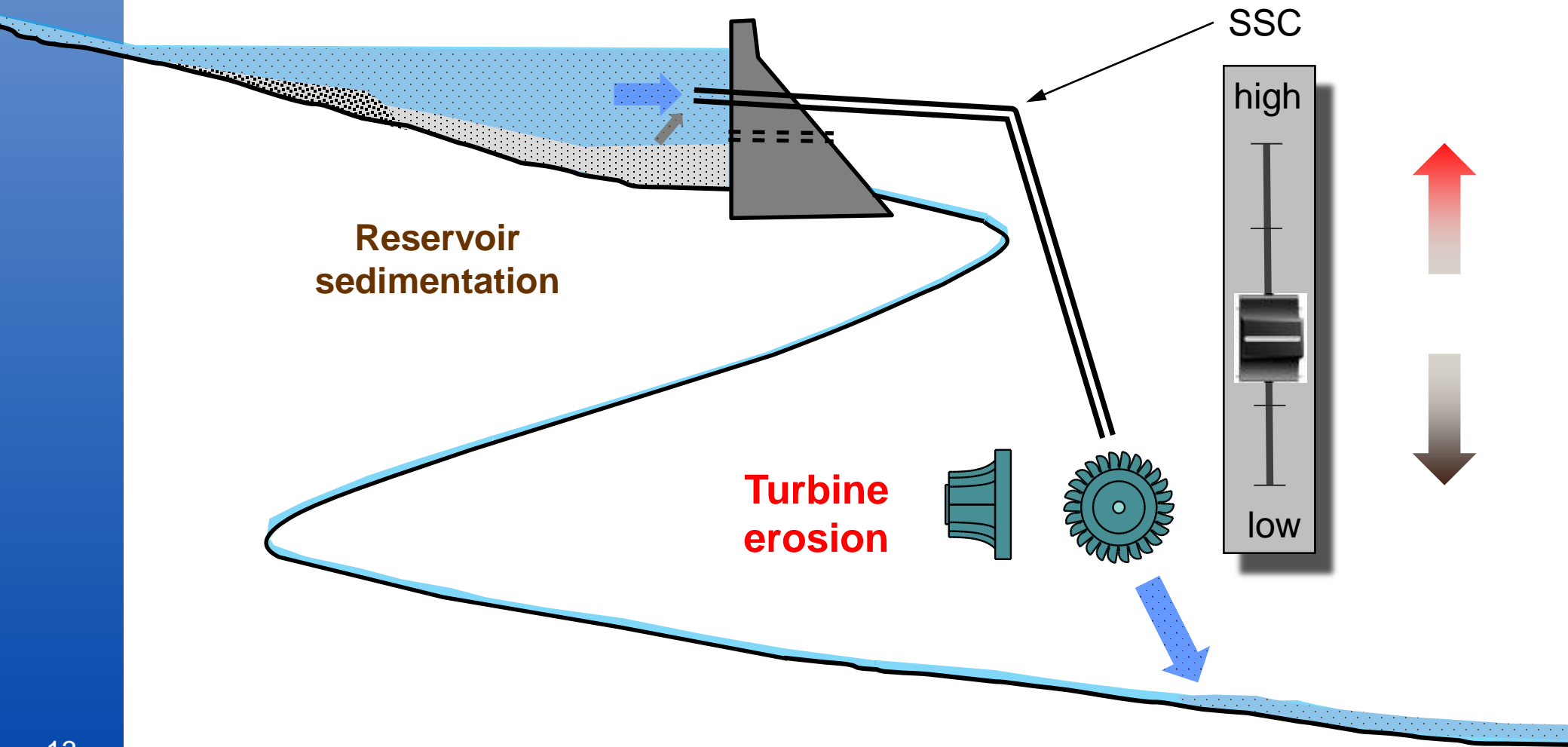


Fine sediment transport via power waterway

- Reduce settling (e.g. with jet-induced turbulence -> Demonstrator 'Sedmix')
- Sediment re-mobilisation by hydro-suction / air lift etc.



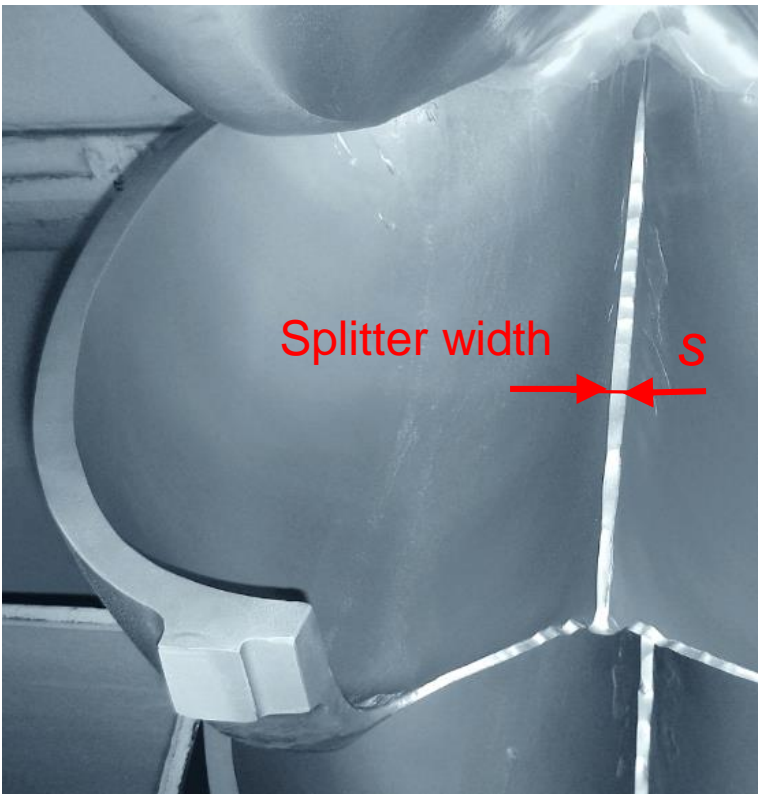
Fine sediment transport via power waterway



- Sediment problems at hydropower plants
- Reducing the sediment load in the turbine water of run-of-river HPPs by temporary shutdowns
- Increasing the fine sediment load in the turbine water of storage HPPs to reduce reservoir sedimentation
- **Estimating turbine erosion**
- Conclusions

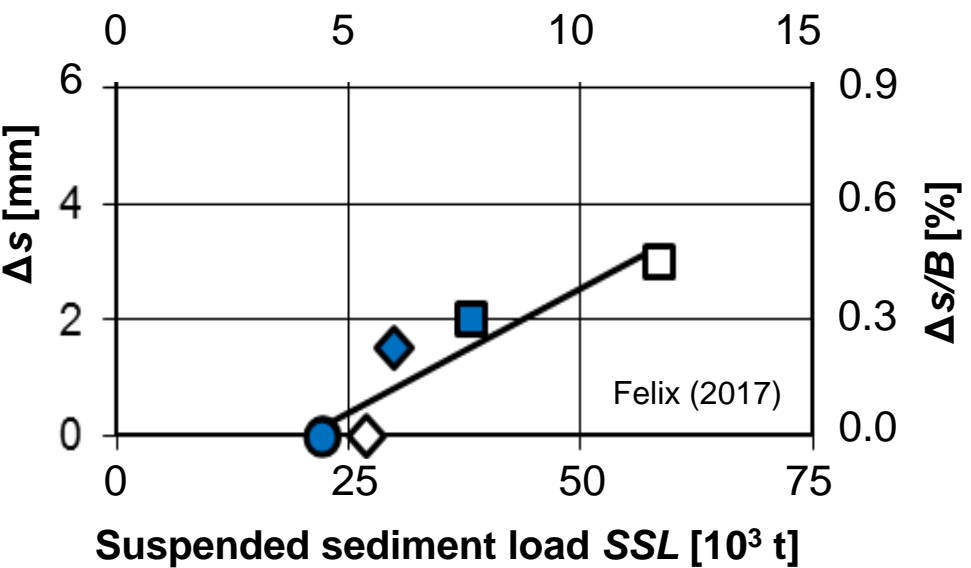
Estimating turbine erosion

Bucket of a Pelton runner
(fully coated at the beginnings
of the seasons)



Particle Load per bucket PL_b [h·g/l]

Modified from IEC 62364 (2013)

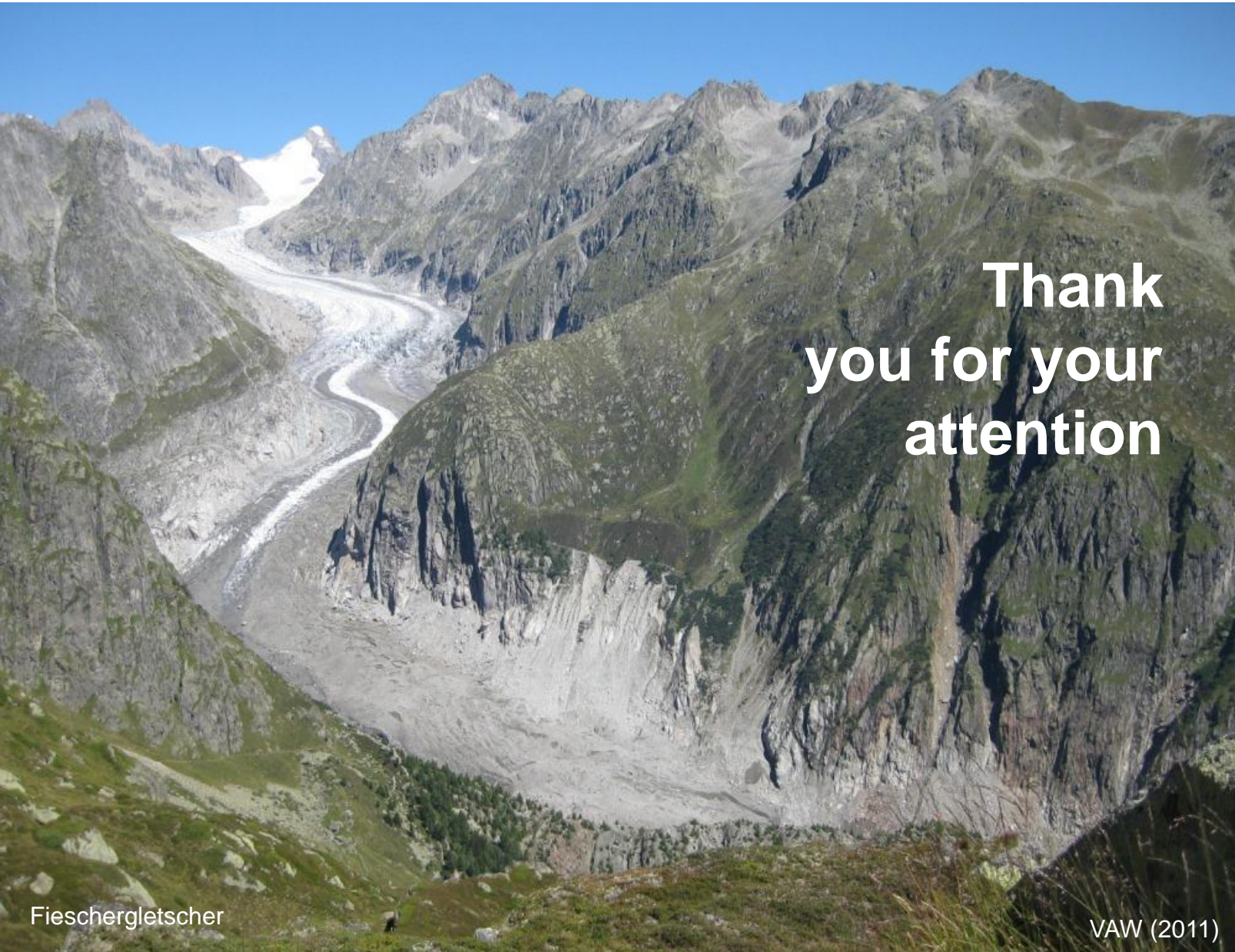


Increase of splitter width Δs of the runners
of turbine 1 and 2 (empty and full markers)
of HPP Fieschertal
in 2012 (\square), 2013 (\diamond) und 2014 (\circ)

$$\Delta s(t) = K_{f,s} K_m w^3 PL_b(t)$$

Conclusions

- Various **options** to cope with sediment at HPPs
- At medium- and high-head run-of-river HPPs: **temporary closing of intakes and turbine shutdowns** (at high SSCs)
- At storage HPPs if no other option is suitable: **fine sediment transport through turbines** (with low SSCs)
- **Site-specific** optimizations based on monitoring data and economic analysis



Thank
you for your
attention

Fieschergletscher

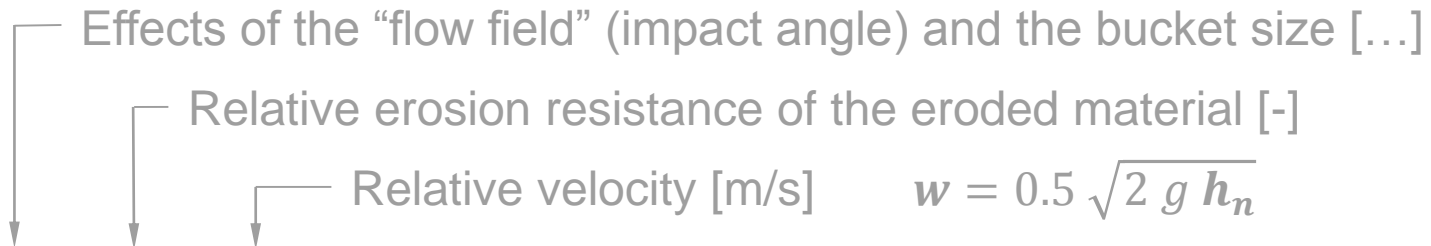
VAW (2011)

Model for hydro-abrasive erosion in turbines

According to a guideline of the International Electrotechnical Commission IEC 62364 (2013), adapted for erosion in **Pelton buckets**

Based on a comprehensive literature review (e.g. Meng & Ludema 1995)

Erosion
depth



$$\Delta d_e(t) = K_{f,s} K_m w^3 PL_b(t) \leftarrow \text{“Particle Load” per bucket } [h \cdot g/l]$$

$$PL_b(t) = \int \frac{Z_0}{Z_2} SSC \underbrace{k_{\text{size}} k_{\text{shape}} k_{\text{hardness}}}_{\text{Factors for particle properties [-]}} dt$$

Number of buckets [-] Suspended sediment concentration [g/l] Time [h]

Model for hydro-abrasive erosion in turbines

Properties of the HPP

Operation data

Measurements (constant)

Measurements (variable in time)

Erosion
depth

Effects of the “flow field” (impact angle) and the bucket size [...]

Relative erosion resistance of the eroded material [-]

Relative velocity [m/s] $w = 0.5 \sqrt{2 g h_n}$

$$\Delta d_e(t) = K_{f,s} K_m w^3 PL_b(t) \quad \text{“Particle Load” per bucket [h · g/l]}$$

?

Number of jets (nozzles in operation) [-]

$$PL_b(t) = \int \frac{Z_0}{Z_2} SSC k_{size} k_{shape} k_{hardness} dt$$

Factors for particle
properties [-]

Number of buckets [-]

Suspended sediment concentration [g/l]

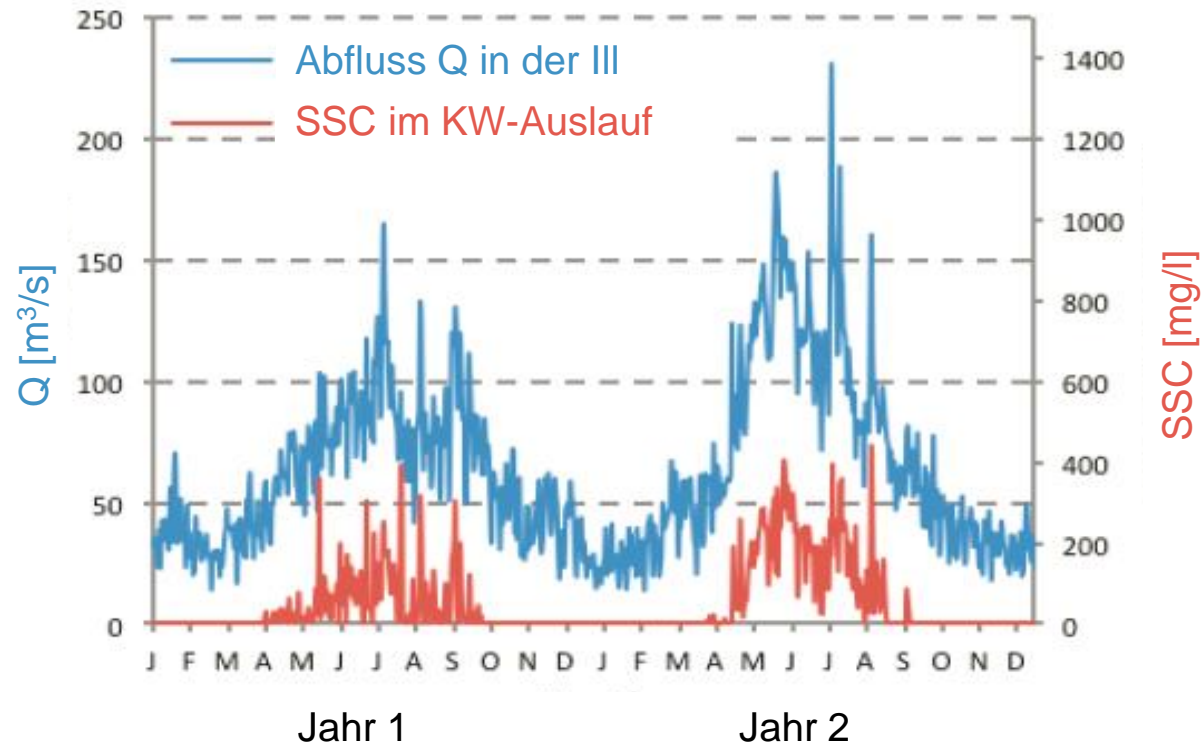
Time [h]

(II) Feinsedimente lösen, fördern und durchleiten

Fallbeispiel Walgauwerk, Österreich

Randbedingungen:

- a) Sedimentrückgabe von April bis September
- b) Keine Rückgabe von Sandfraktionen
→ Verwendung als Baustoff



- c) Zulässige Erhöhungen der Schwebstoffkonzentration (SSC) in Abhängigkeit der SSC_{us} im Fluss oberstrom der Wasserrückgabe:

0 für $\text{SSC}_{\text{us}} \leq 0.05 \text{ g/l}$

0.2 g/l für $0.05 \text{ g/l} < \text{SSC}_{\text{us}} < 0.2 \text{ g/l}$

$1.5 * \text{SSC}_{\text{us}}$ für $\text{SSC}_{\text{us}} \geq 0.2 \text{ g/l}$

Quelle: nach Sollerer & Matt (2013)

(II) Feinsedimente lösen, fördern und durchleiten

Übersicht zu praktizierten Fallbeispielen an Speicherkraftwerken

WKA (Fluss) und Speichername, Land (Referenz)	Brutto Fall- höhe	Turbinen- ausbau- abfluss Q_d	Zulässiger Anstieg der SSC im Vorfluter	Zulässige Sedimentrück- gaberate Q_s
WKA Kubel (Sitter), Gübsensee, Schweiz (De Cesare et al. 2009)	97 m	16 m ³ /s	0 im Winter, 0.2 g/l sonst	270 t/d
WKA Walgauwerk (Ill), Ausgleichsbecken Rodund, Österreich (Sollerer & Matt 2013, Sollerer & Gökler 2016)	162 m	68 m ³ /s	0 für $SSC_{us} \leq 0.05$ g/l, 0.2 g/l für $0.05 < SSC_{us} < 0.2$ g/l, 1.5* SSC_{us} für $SSC_{us} \geq 0.2$ g/l	1170 t/d ≤ 4800 t/d
WKA Langenegg, Bol- genachspeicher, Österreich (DWA 2006)	280 m	ca. 30 m ³ /s	Praktizierte Rückgabe mit 0.02 g/l bis 0.2 g/l (vor allem bei hohen natürl. Q) lag unter der Grenz-SSC	praktiziert ≤ 500 t/d (80 000 t/a)

mit Francisturbinen

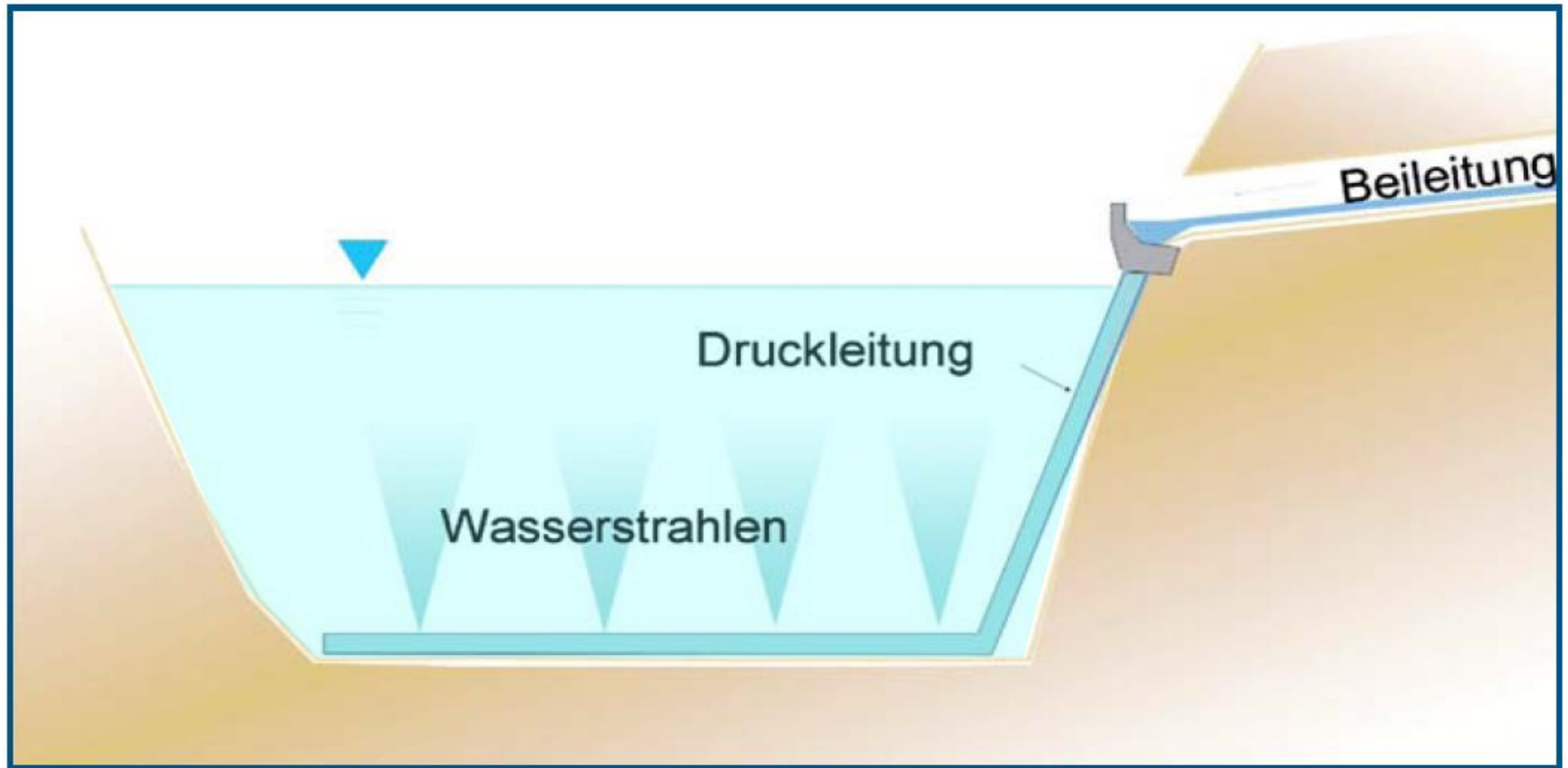
Quelle: nach Felix et al. (2016)

Vor-/Nachteile der Feinsedimentableitung

- + Wegen Verdünnungseffekt mit grossen Wasservolumina relativ geringe SSC im Unterwasser
- + Naturnahe SSC im Unterwasser («dynamische» Dotierung möglich)
- + Keine Erhöhung der SSC in der Restwasserstrecke
- + Keine Entwässerung und Deponierung der Sedimente erforderlich
- + Keine Spülwasserverluste

- Erhöhter Verschleiss und Unterhalt an elektro-mechanischen Anlagenteilen (Laufräder, Düsen, Dichtungen, ...)
- Reduktion des Absetzens der Feinsedimente benötigt Strömungsturbulenz (z.B. mittels Blasenschleier oder Wasserstrahlen; «Abflusskanal» in kleineren Speichern)
- ggf. Remobilisierung von bereits abgesetzten Feinsedimenten (in der Regel kohäsiv) mittels Saugbagger bzw. Pumpen erforderlich
- Erfordert ggf. Anpassungen am Einlaufbauwerk und im Maschinenhaus (z.B. Turbinenbeschichtungen, Anpassung des Kühlwassersystems)

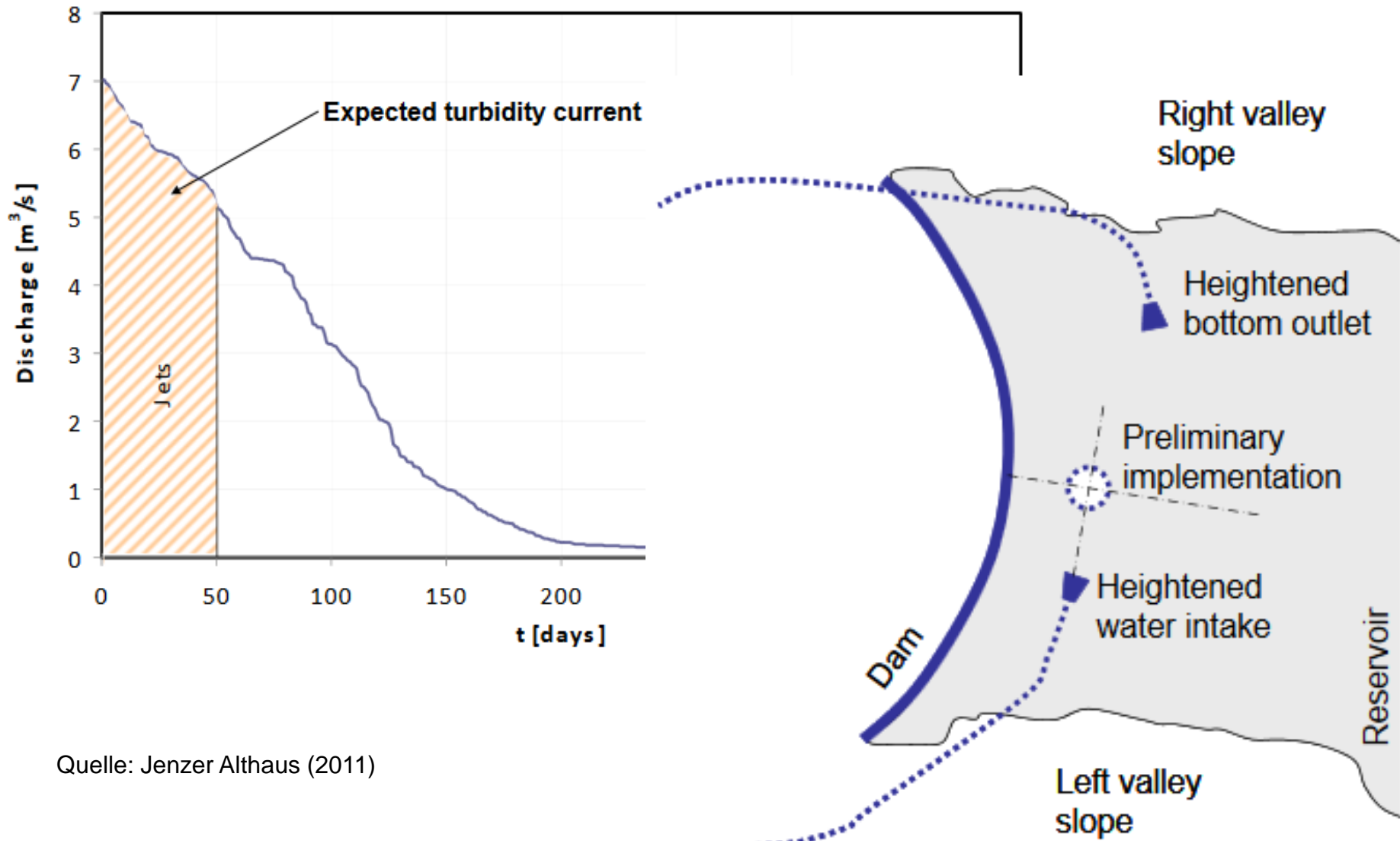
Erzeugung von Turbulenz mittels Wasserstrahlen



Quelle: Jenzer Althaus *et al.* (2008)

Erzeugung von Turbulenz mittels Wasserstrahlen

Mögliche Anordnung und Betriebsdauer (Fallbeispiel Mauvoisin)



Begrenzung der Turbinenabrasion

- **Hartbeschichtung (Wolframkarbidpartikel in Kobalt-Chrom-Matrix)** mittels Hochgeschwindigkeitsflammspritzen (HVOF) aufgetragen
- **Legierungen (z.B. «Stellite»)** und Kombinationen mit Hartbeschichtungen



- **Weichbeschichtungen (Polymere)**
- **Hartschichten schweißen**
- **Andere Stahlgüten**

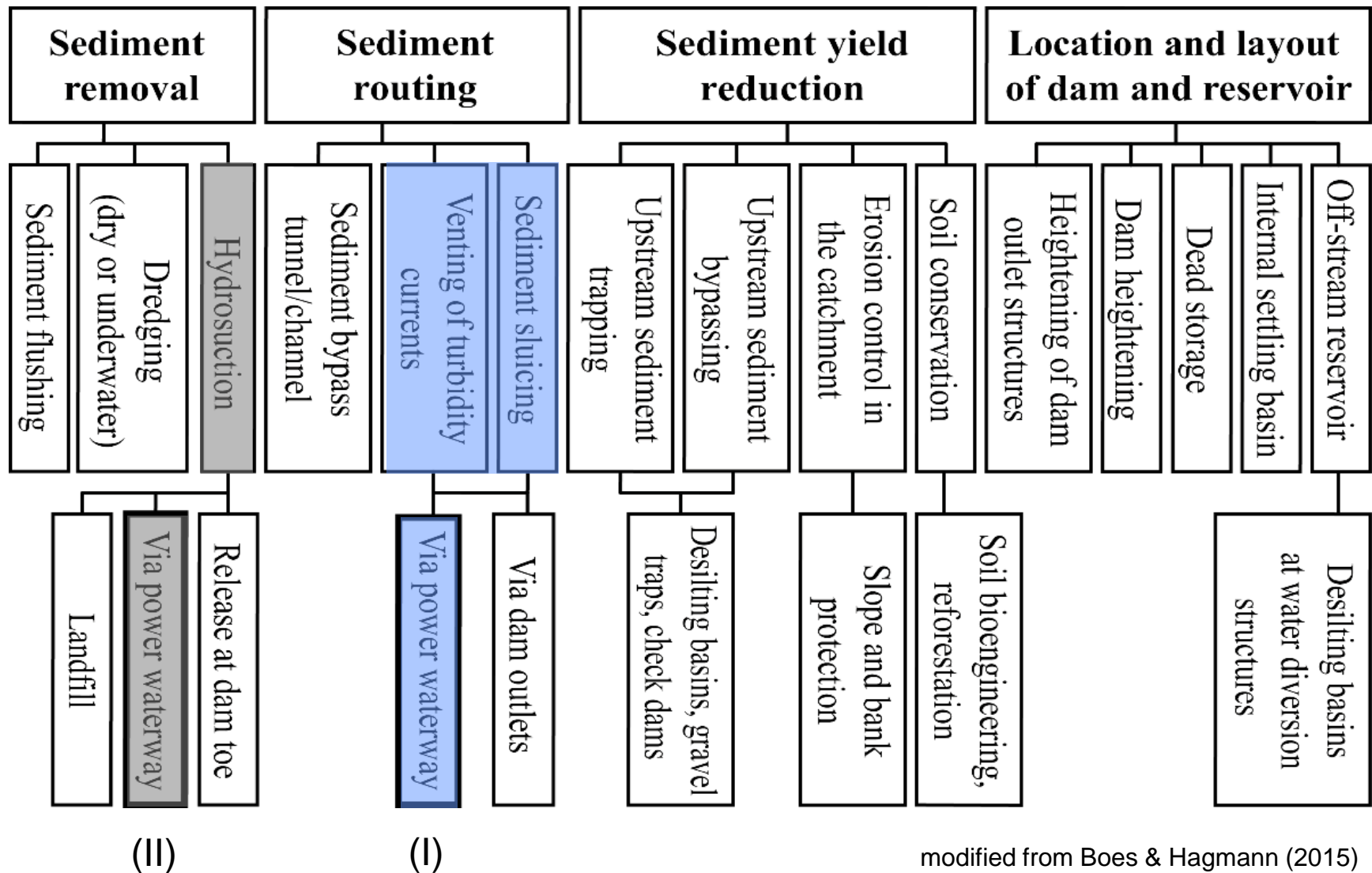
Schlussfolgerungen

Feinsedimentableitung über den Triebwasserweg als interessante Massnahmen gegen Stauraumverlandung, besonders unter folgenden Voraussetzungen:

- **Verlandung im Wesentlichen durch Feinsedimente** (ist in vielen Speichern der Fall)
- **Niedrige bis mittlere Fallhöhen** und somit nicht zu hohe Fliessgeschwindigkeiten in den Turbinen;
- **Relativ kleine Sedimentpartikel**, DWA (2006) erwähnt Ton- bis Mittelsilt mit $d \leq 20 \mu\text{m}$ als geeignet;
- **Geringe bis mittlere Härte der Sedimentpartikel** (z.B. Sedimentgesteine);
- **Geeignete Turbinenauslegung** (siehe z.B. IEC 62364)

→ betriebswirtschaftliche Optimierung je nach Anlage

Massnahmen gegen Stauraumverlandung



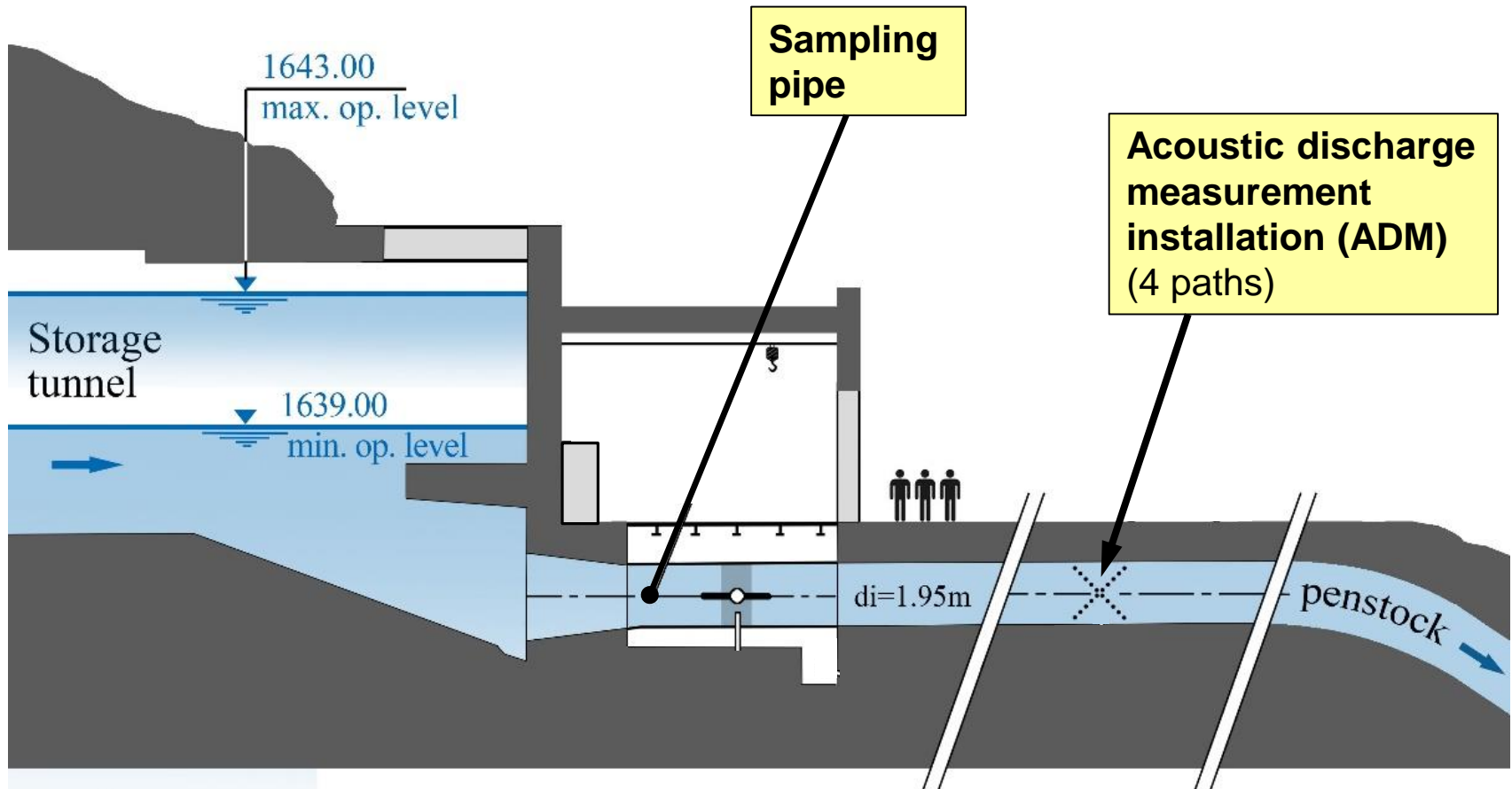
Measures against reservoir sedimentation

Measures against reservoir sedimentation			Further possibilities
Reduce sediment input	Increase sediment output	Removal of sediment deposits	
<ul style="list-style-type: none">Reduction of erosion on soils, embankments and river bedsSediment retention upstream of main damOff-stream reservoirs with suitable in- and outletsSediment bypass tunnels or channels along the whole reservoir lengthEquip water adductions with sediment traps and stop operation during floods	<p>Sediment passage (without settling)</p> <p>Pass sediment-rich waters through reservoirs</p> <ul style="list-style-type: none">Via outlets, bypass tunnels (partial reservoir length) or power waterways without reservoir drawdownVia low level outlets during reservoir drawdown	<p>Removal of sediment deposits</p> <ul style="list-style-type: none">Flushing via outlets, bypass tunnels (partial reservoir length) or power waterways with reservoir drawdownHydraulic transport to dam toe, in power waterways, other reservoirs or landfillDry excavation with road transport	<ul style="list-style-type: none">Design large dead storageSediment relocation in reservoirDam heightening and modification of outlets
			Conversion from storage to run-of-river HPP
			Dismantling of dam with erosion of sediment deposits

(modified from ICOLD 1989,
Boes and Hagmann 2005, Schleiss et al. 2016)

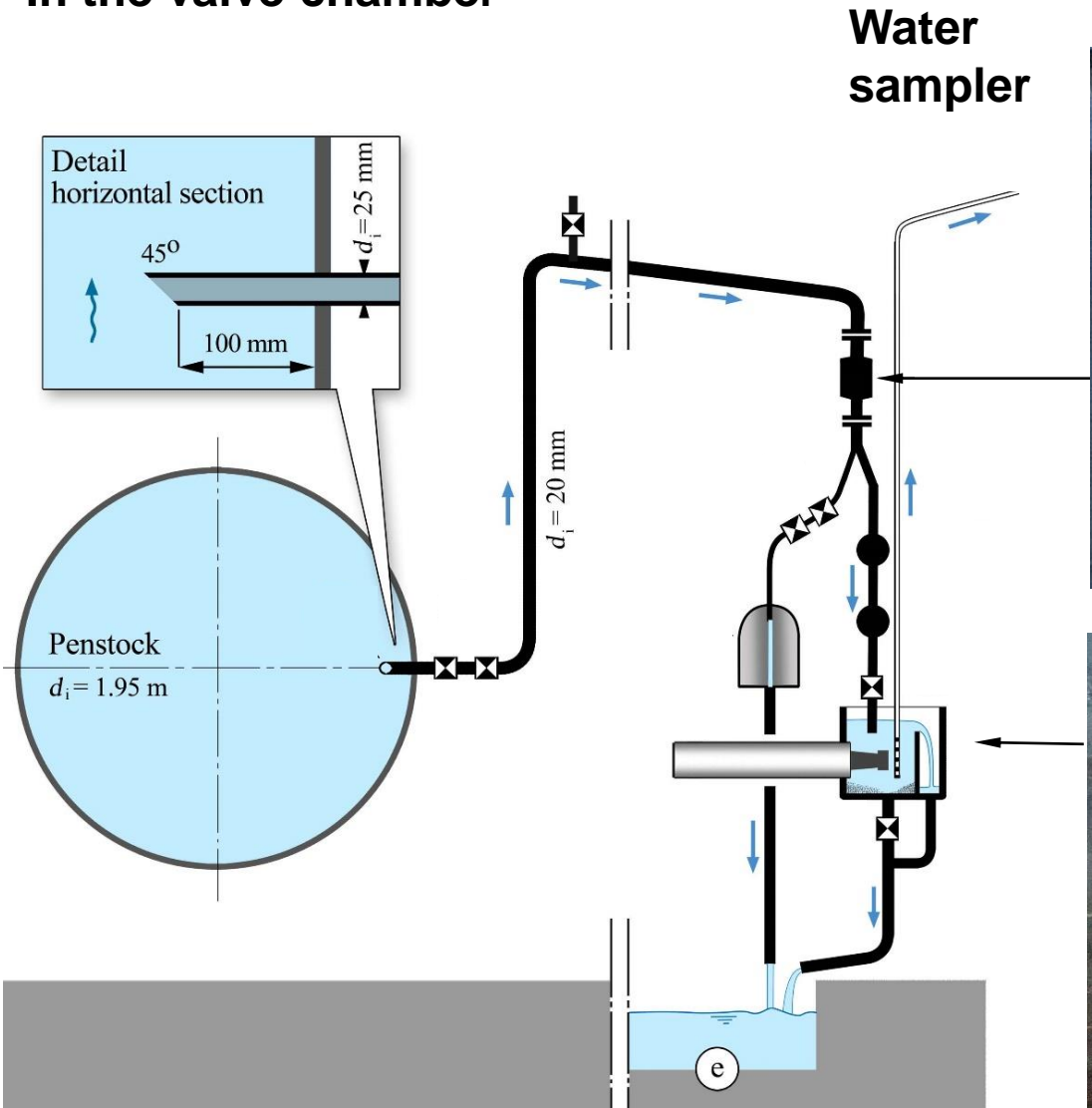
Setup for suspended sediment monitoring

In the valve chamber

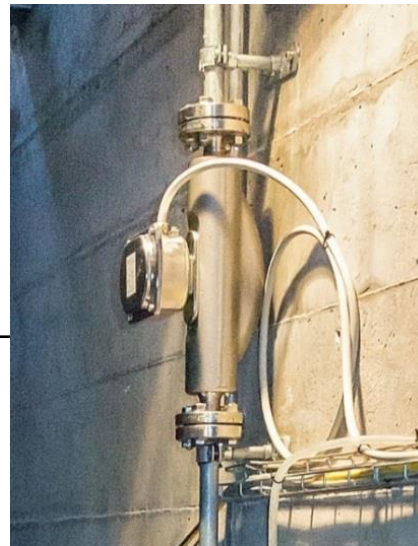


Setup for suspended sediment monitoring

In the valve chamber



Water
sampler



Coriolis
Flow-
and
Density
Meter
(CFDM)

Turbidi-
meters



Laser Diffractometer
(LISST)

Felix et al. (2016)

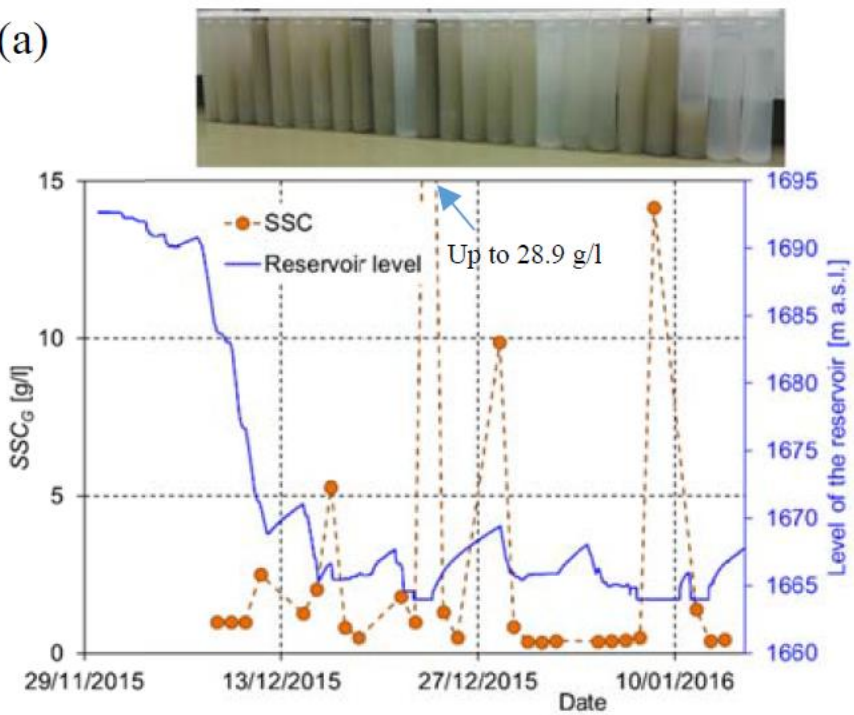
Studien zu Schwebstoffen und Turbinenabrasion

Erhöhte SSC im Triebwasser infolge ausserordentlichen Seespiegelabsenkungen

WKA Kaunertal (500 MW), Österreich

TIWAG

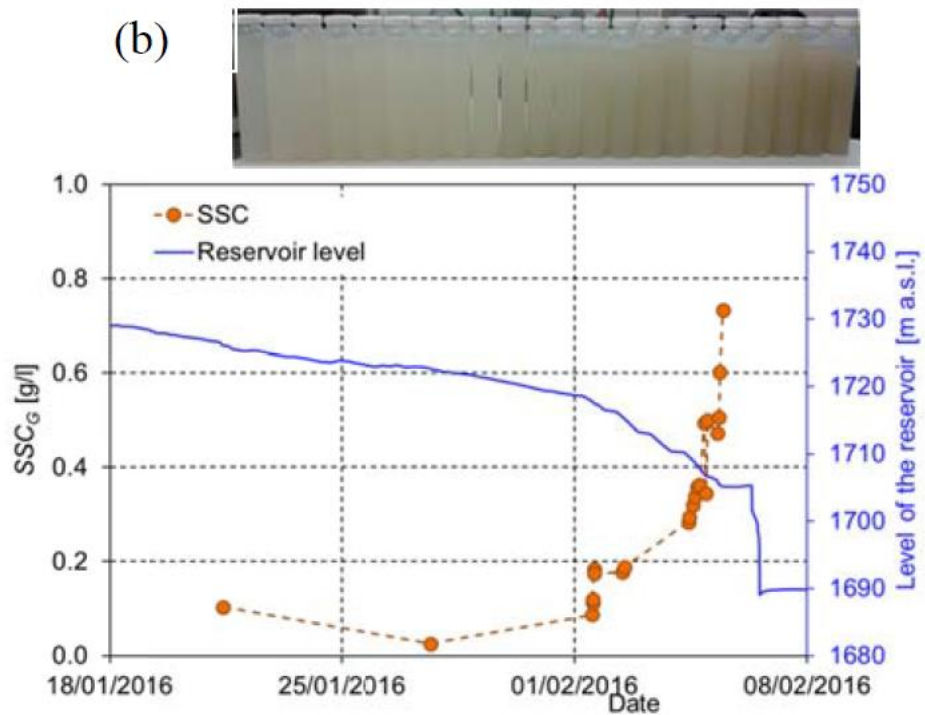
(a)



WKA Handeck 2 (136 MW)

KWO

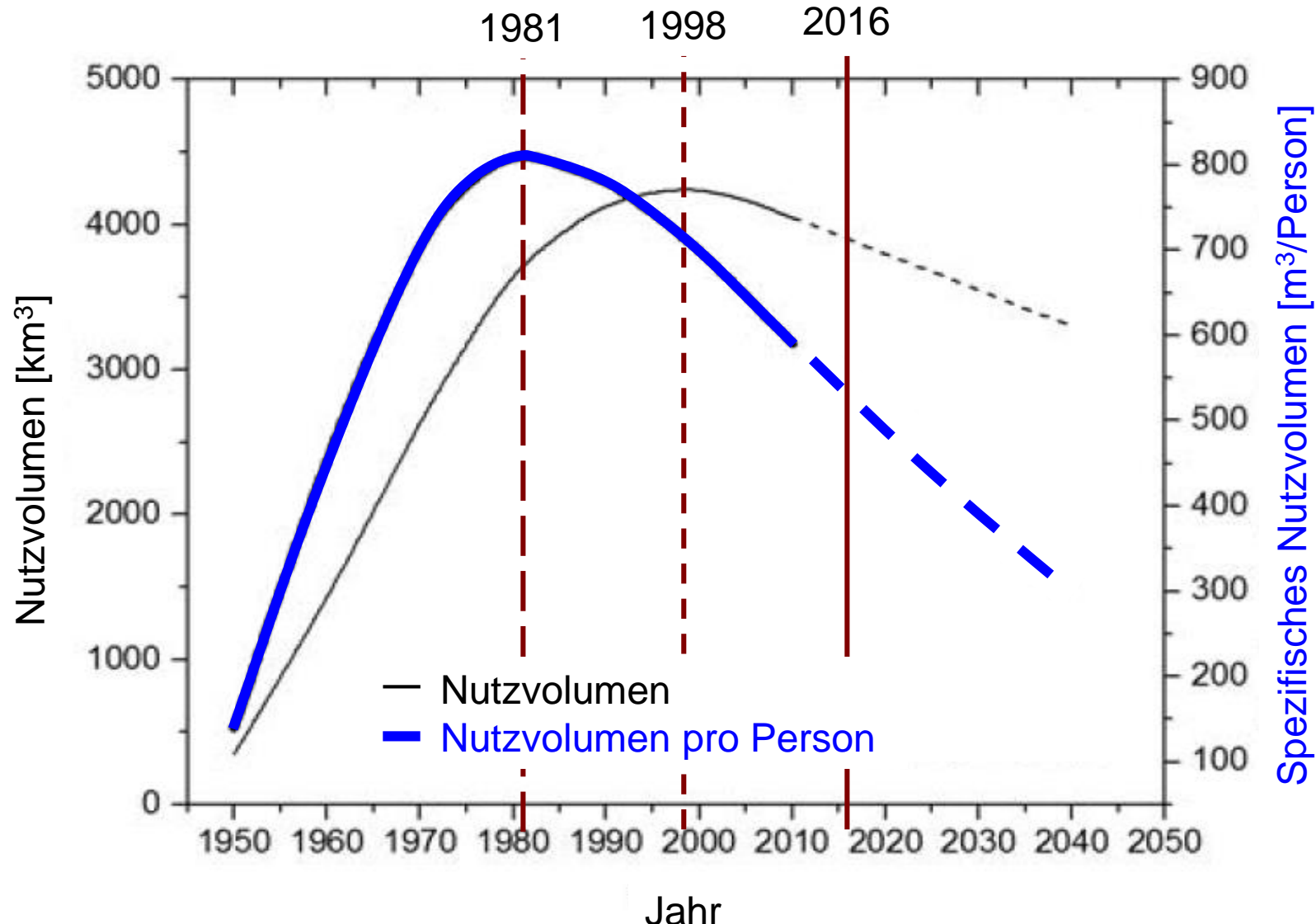
(b)



Quelle: Fernandes et al. (2016)

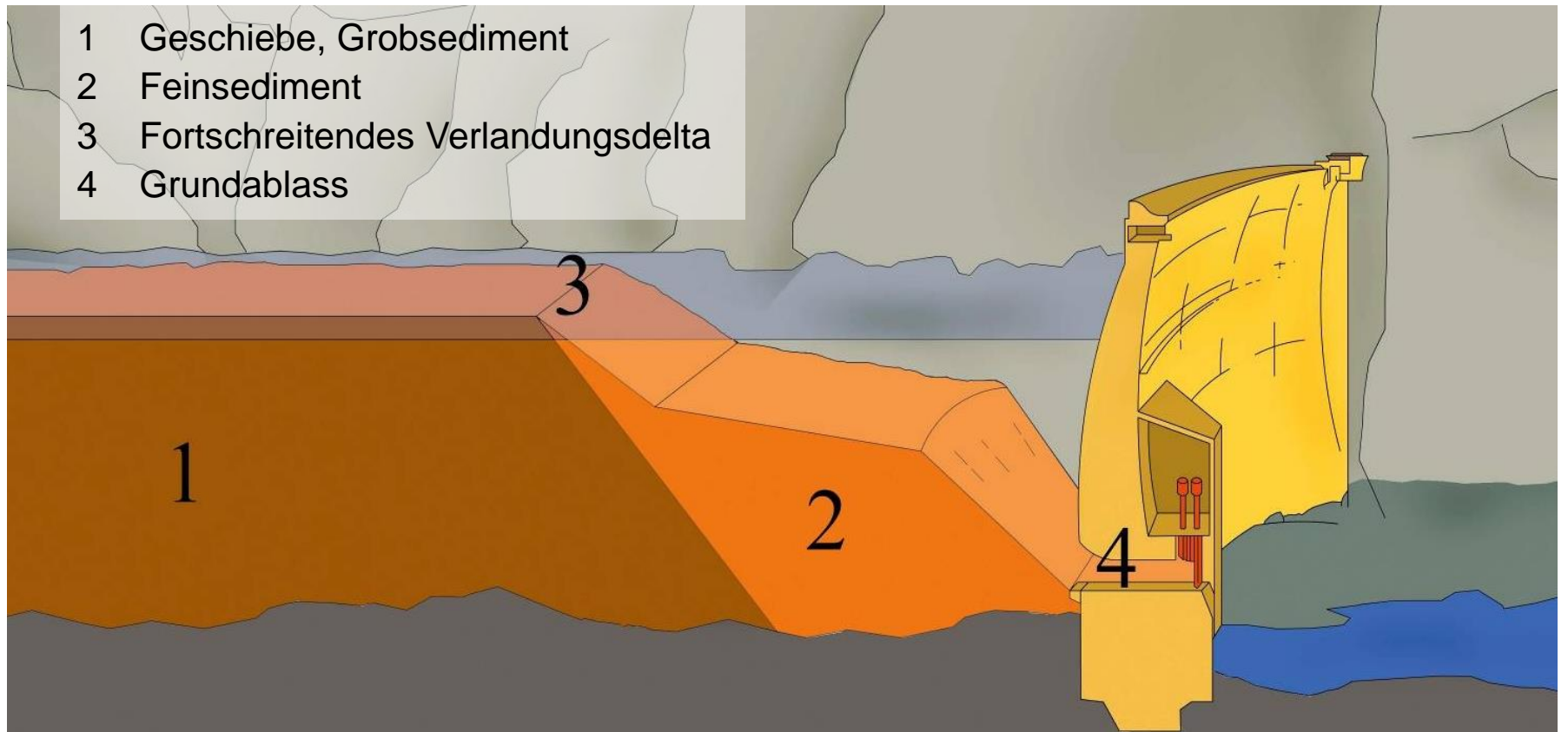
Stauraumverlandung

Entwicklung des Speichervolumens weltweit



Auswirkungen von Stauraumverlandung

Beeinträchtigungen von Betrieb und ggf. Talsperrensicherheit



Quelle: ewz

Stauraumverlandung



(Quelle: Stamm et al. 2016)

Sedimentablagerungen im Räterichsbodensee (BE) während der Entleerung aufgrund von Bauarbeiten

Auswirkungen von Stauraumverlandung

Verlust der Speicherfunktion → Laufwasserkraftwerk

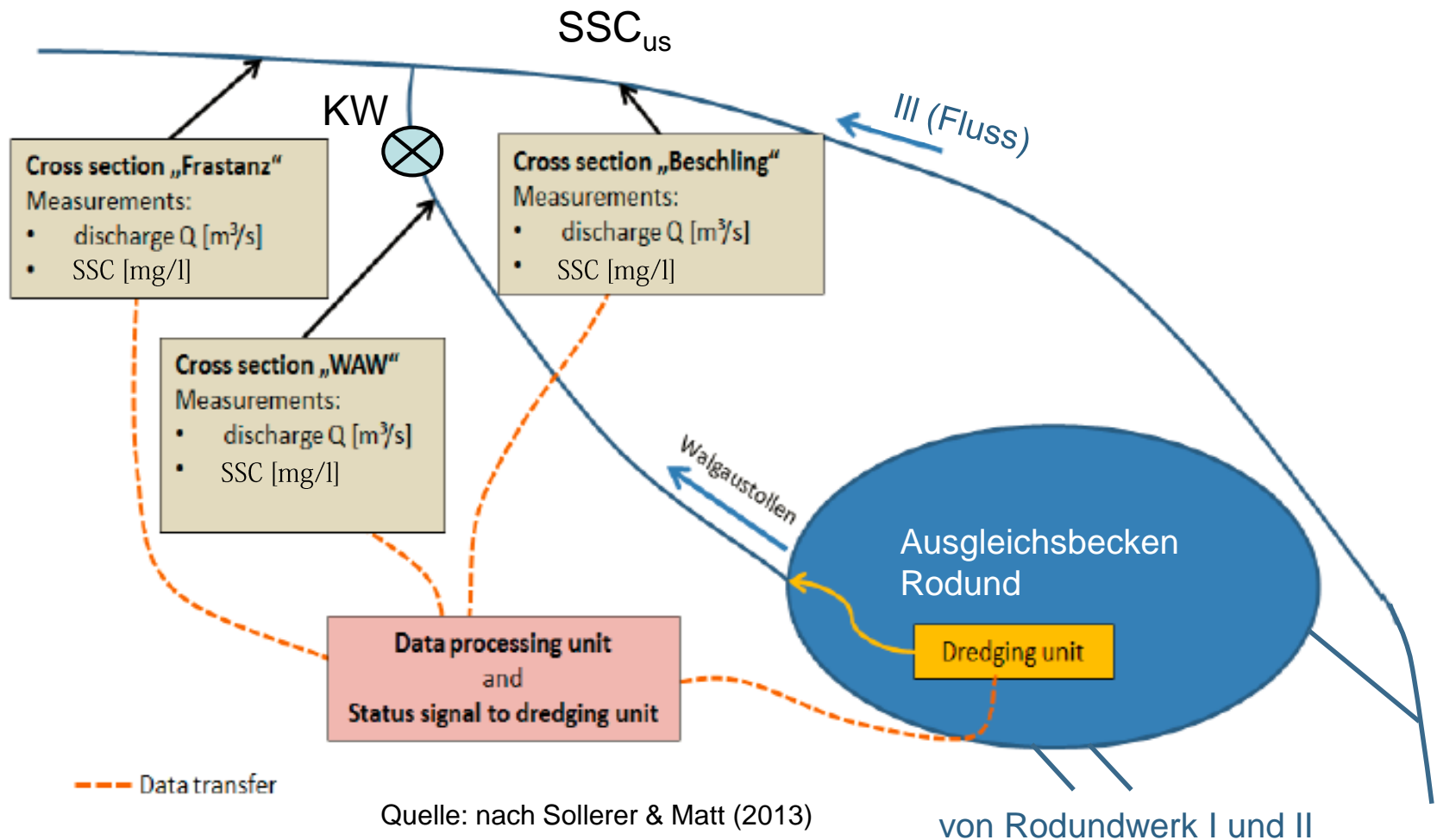


Beispiel Maigrauge (FR)

(II) Feinsedimente lösen, fördern und durchleiten

Fallbeispiel Walgauwerk, Österreich

Systemübersicht mit Lage der Messstellen



(II) Feinsedimente lösen, fördern und durchleiten

Fallbeispiel Walgauwerk, Österreich



Wasser von mehreren Speichern mit vergletscherten Einzugsgebieten + Flusswasserfassung

Ausgleichsbecken im Nebenschluss mit $V_{\text{Nutz}} = 1.8 \text{ hm}^3$ (ehemals 2.1 hm^3)

2 Francis, total 86 MW,
 $H = 162 \text{ m}$, $Q_d = 68 \text{ m}^3/\text{s}$

Saugbagger mit Sediment-Förderkapazität von $200 \text{ m}^3/\text{h}$, d.h. $\leq 4800 \text{ m}^3/\text{Tag}$
im Triebwasser $\leq 1.4 \text{ g/l}$ bei Ausbauwassermenge

Quelle: nach Sollerer & Matt (2013)

Sediment conveyance through power waterway

Compensation basins Rodund of HPP Walgauwerk, Austria



Several upstream storage HPPs
from glaciated catchments
+ intake from the river

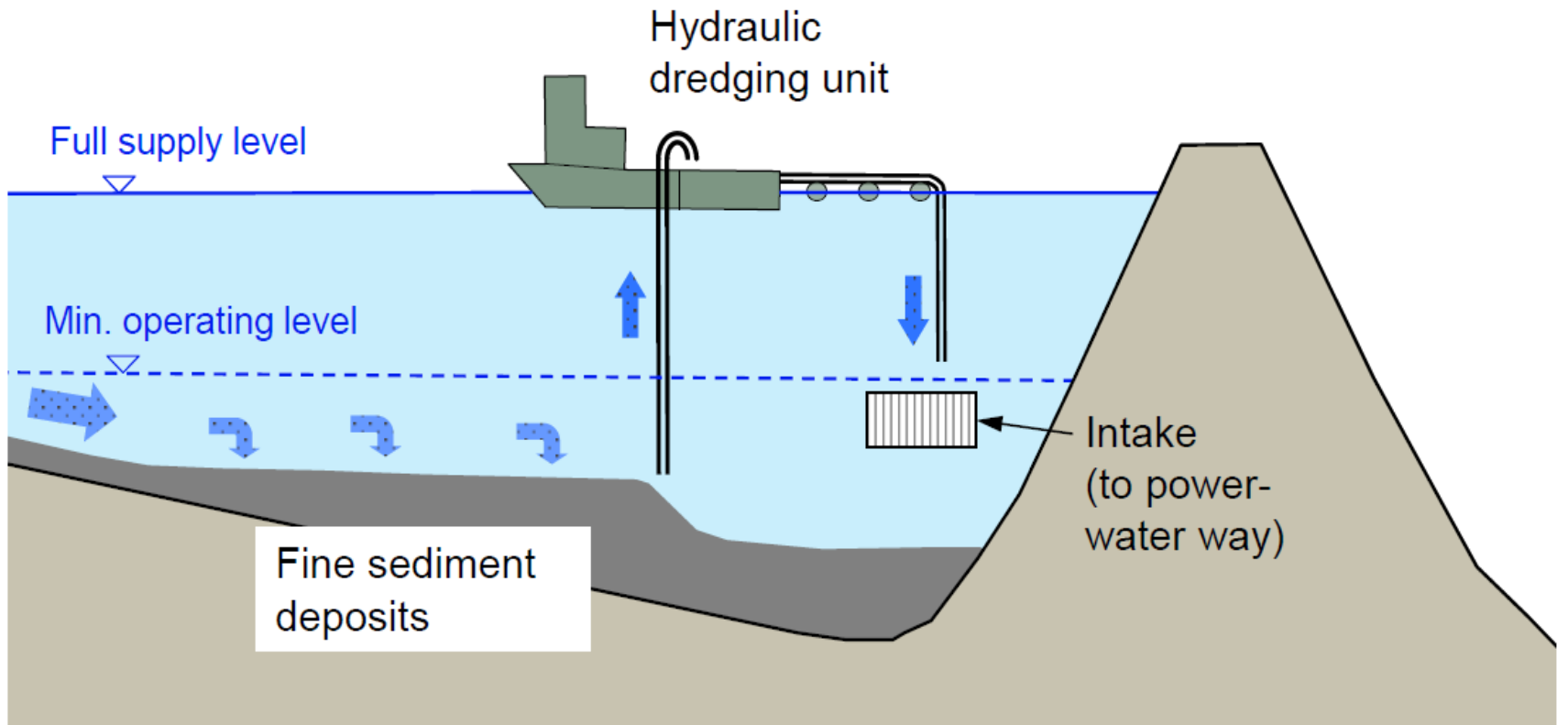
Off-stream reservoirs with
active storage 1.8 Mio m³
(originally 2.1 Mio m³)

2 Francis, 86 MW, 162 m head,
design discharge 68 m³/s

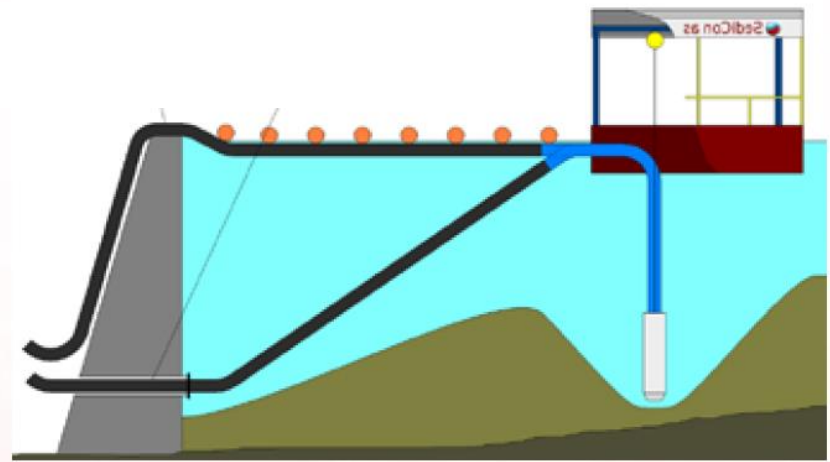
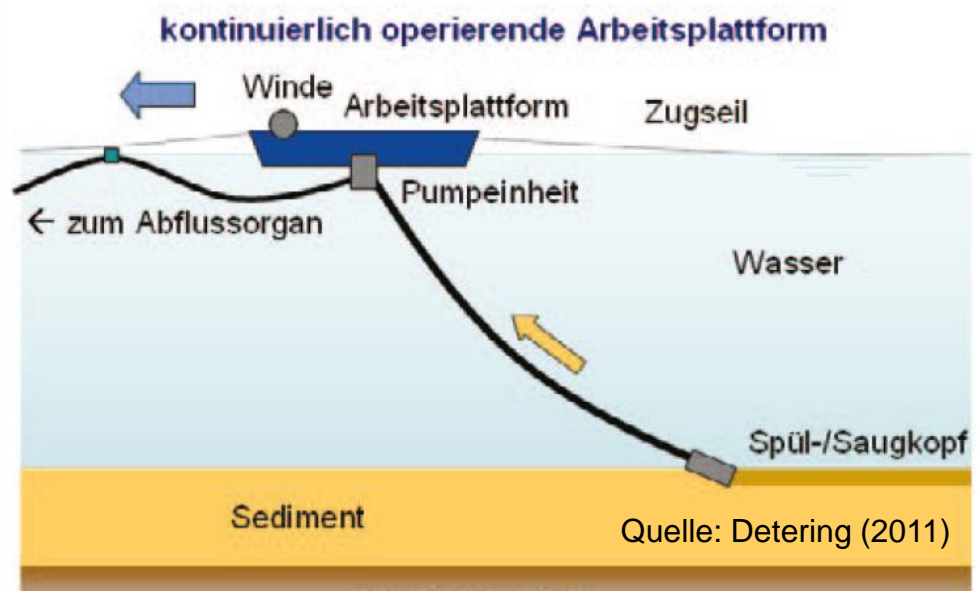
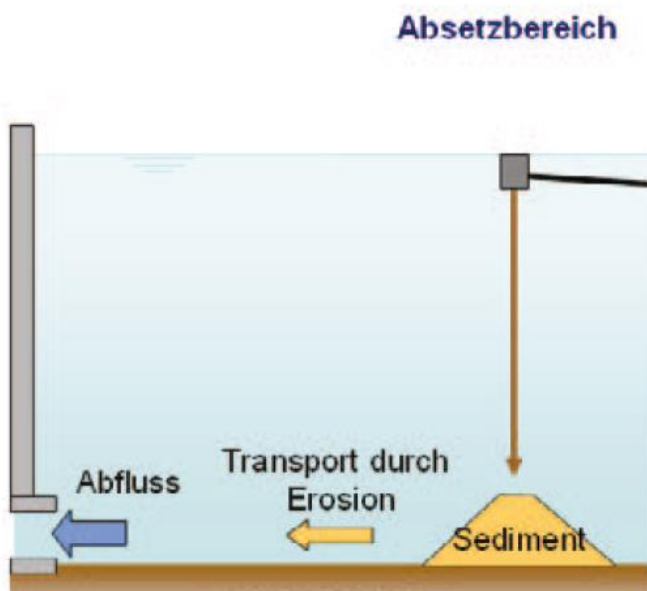
Floating hydrosuction unit
(capacity 200 m³ sediment / h)
 $\leq 4800 \text{ m}^3/\text{day}$

Additional SSC in power water:

- 0 if $\text{SSC}_{\text{us}} \leq 0.05 \text{ g/l}$
- 0.2 g/l if $0.05 \text{ g/l} < \text{SSC}_{\text{us}} < 0.2 \text{ g/l}$
- $1.5 * \text{SSC}_{\text{us}}$ if $\text{SSC}_{\text{us}} \geq 0.2 \text{ g/l}$



Saugbaggerung (Hydro-suction)



Sediment conveyance through power waterway

Reservoir Bolgenach of HPP Langenegg, Austria



www.illwerkekw-welten.at



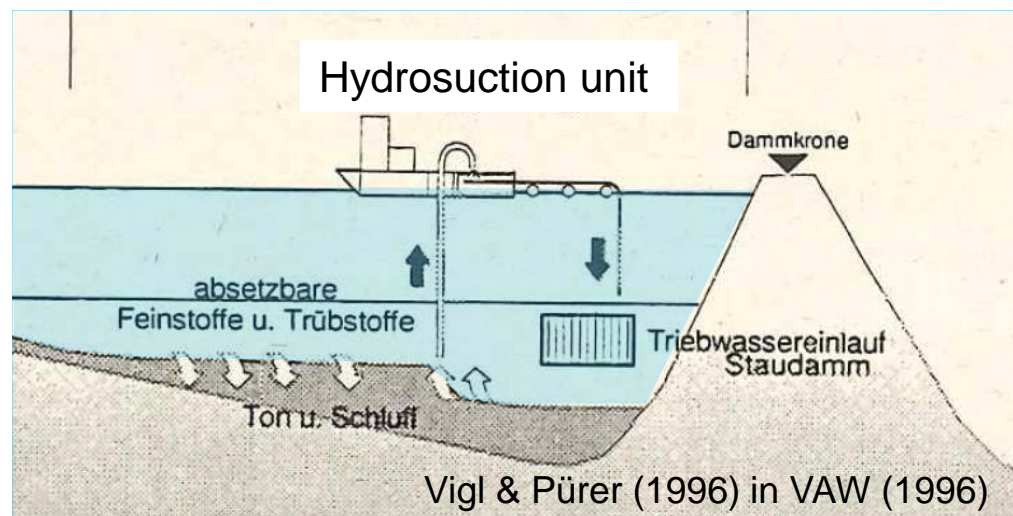
google maps

Reservoir Bolgenach

6.5 Mio m³ (originally 8.4 Mio m³)

2 Francis, 74 MW, 280 m head,
design discharge 32 m³/s

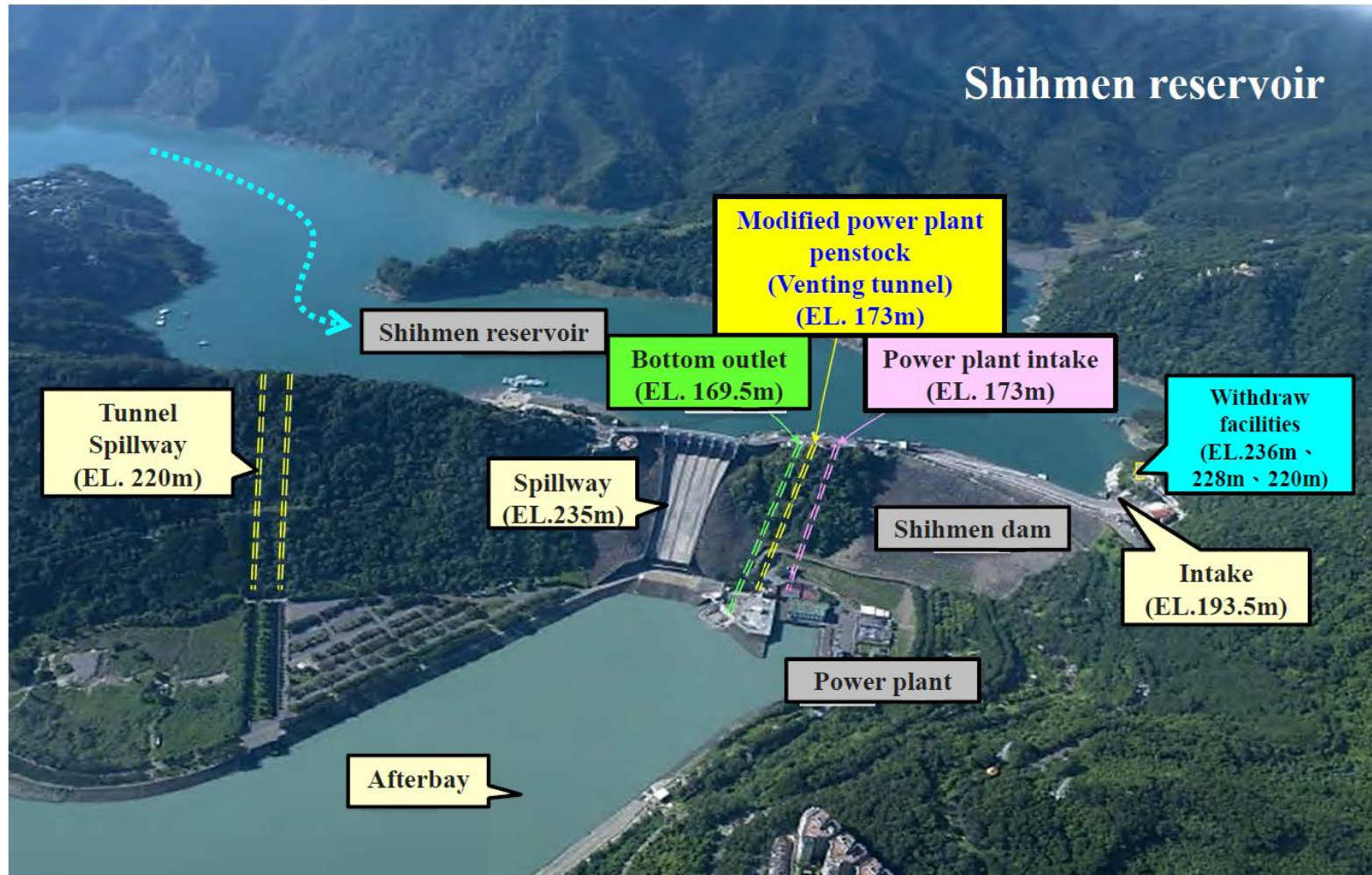
Additional SSC in power water
0.02 to 0.2 g/l (below admissible values)
 ≤ 500 t/day (80 000 t/year)



(I) Feinsedimente über Triebwasserweg durchleiten

Fallbeispiel Shihmen Reservoir, Taiwan

$$V_{1964} = 309 \text{ hm}^3, V_{2011} = 215 \text{ hm}^3 \rightarrow -30\% \text{ bzw. } -0.64\%/\text{Jahr}$$



Quelle:
Lai et al.
(2015)

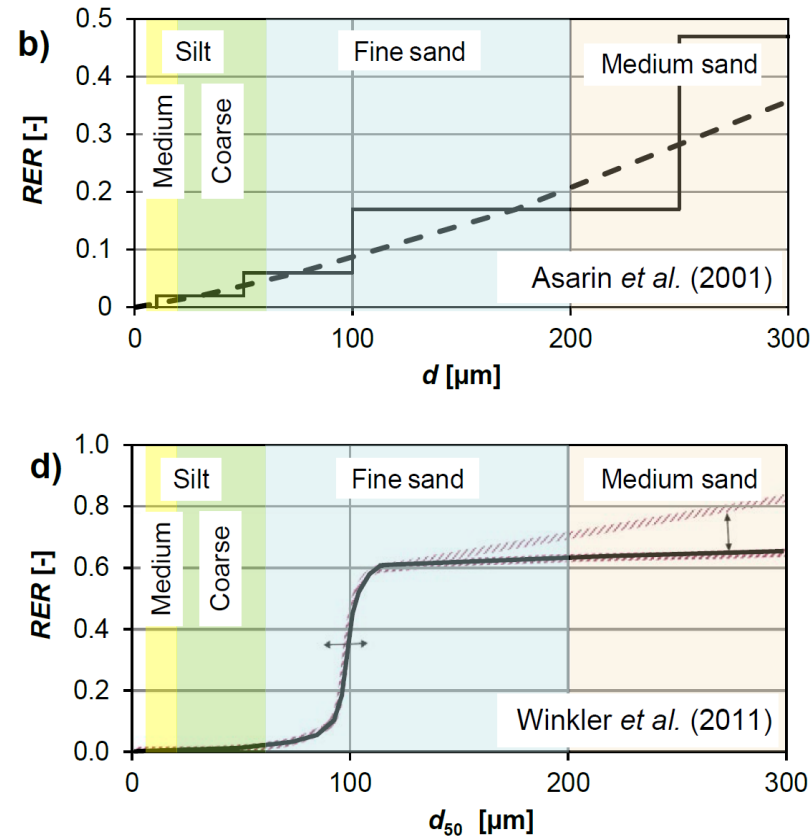
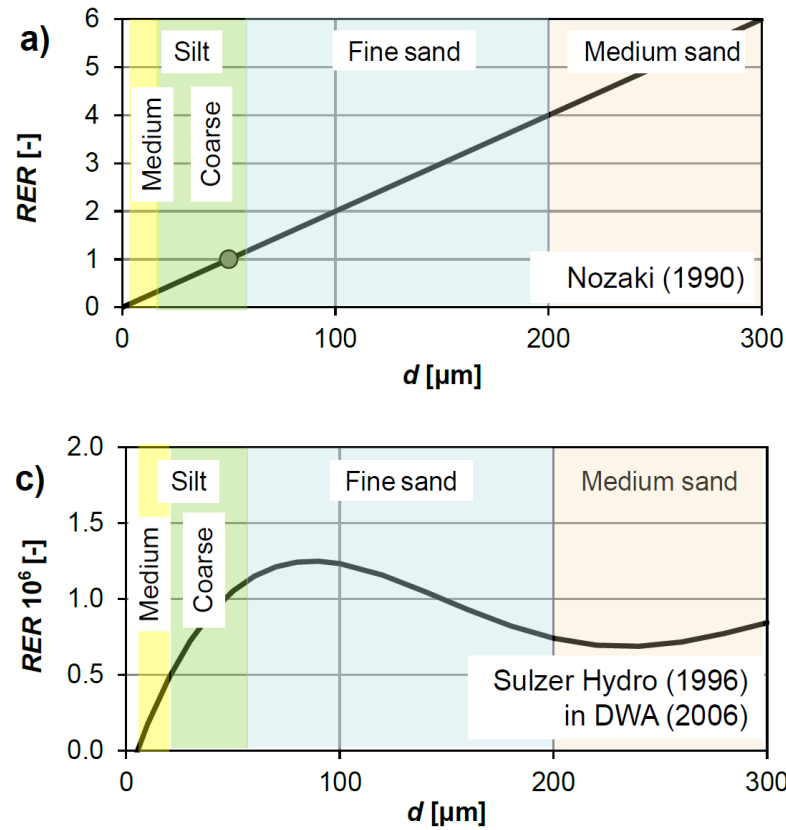
(I) Feinsedimente über Triebwasserweg durchleiten

Fallbeispiel Shihmen Reservoir, Taiwan



Quelle: Wikipedia

Effect of particle size on turbine erosion



Economic potential of temporary turbine switch-offs

Scenario of flood event in July 2012 at HPP Fieschertal (2 turbines)

- | | | |
|---|-----------|---|
| - | 50'000 € | Generation loss during 16 h downtime (during abundant inflow)
($2 * 32 \text{ MW} * 16 \text{ h} \approx 1 \text{ GWh}$ with an assumed price of 50 €/MWh)
corresponds to 0.6 % of the annual electricity generation |
| + | 200'000 € | Avoided repair costs (rough estimate) |
| + | 30'000 € | Avoided generation loss because of less reduced efficiency
(estimate) |
| + | 30'000 € | Avoided generation loss because of no runner change required
(one turbine at full load, 17 h) |
| - | | Potential penalty for deviation from the production schedule
(or no penalty considering force majeure) |
| ~ | 200'000 € | Net benefit |